

北海道大学工学部 正会員 岸 力

" " 幸山 健一

" 学生会員 長谷部正彦

1 緒言

日流量時系列の標本正確率的なモデルから発生させる方法が、水利用の計画に於て有用なものであることは、前回の単純地表の日流量計算モデルの研究で示したが、この論文では流域内の2地表を考え、そのハイドログラフを同時に求める方法について述べた。2地表の相関を示す回帰線による計算モデルでは上流域から下流域への追算は不十分であったので、次に2地表間ににおける増水、減水の組合せ、ニミでは石狩川流域の伊納に付く上流域中愛別、伊納の持続性を考えた増、減水日の発生モデルをつくり、次に両地表の増減水の指定によって、中愛別から伊納の流量を推定するための計算方式を4つの場合にわけて簡単にするべである。

2 持続性モデルによる計算方式

2-1 増水日、減水日の決定のためのモデル

連続する2日間の日流量の増減水を、資料に最も忠実に再現するためには、ある日が前日より流量が増加すれば“増水日”，減少すれば“減水日”と呼ぶことにし、その生起の仕方を2地表の場合について解説する。ニミでは石狩川流域、中愛別、伊納の昭和27年～39年の資料を用ひたが、両地表の月別の増、減水日の生起確率は表-1のようになる。ニミ R：増水日，F：減水日，N：中愛別，I：伊納と示すことにして、RN：中愛別増水日のよう用いることとする。

表-2

表-1

	中愛別		伊納	
	増水日	減水日	増水日	減水日
Aug.	32.3%	67.7%	34.8%	65.2%
Sept.	32.6	67.4	32.6	67.4
Oct.	35.5	64.5	31.8	68.2

表-2

また中愛別、伊納の増減水日の組合せを含む確率を調べると表-2のように両地表が独立した場合に比べ、増減水が同一日にある傾向が強く伊納の増・減水は上流域中愛別の増減水と相関を示している。

表-3

		R _N -R _I	R _N -F _I	F _N -R _I	F _N -F _I
Aug.	理論値	11.2%	21.1%	23.6%	44.1%
	実測値	22.3	9.9	12.2	55.6
Sept.	理論値	10.6	21.9	22.0	45.5
	実測値	22.1	10.5	10.5	56.9
Oct.	理論値	11.3	24.2	20.5	44.0
	実測値	20.1	15.4	16.7	52.9

		R-R-R	R-R-F	R-F-R	R-F-F	F-R-R	F-R-F	F-F-R	F-F-F
Aug.	理論値	7.8%	14.5%	3.4%	6.5%	4.2%	8.0%	19.3%	36.3%
	実測値	11.2%	11.2	3.2	6.7	5.0	7.2	15.6	40.0
Sept.	理論値	7.3	14.8	3.5	7.0	3.5	7.0	18.8	38.1
	実測値	8.5	13.6	3.3	7.2	5.1	5.4	16.7	40.3
Oct.	理論値	6.4	13.7	4.9	10.5	3.7	8.0	16.8	36.1
	実測値	7.0	13.2	2.5	12.9	4.2	7.4	17.4	35.5

ただし上表で R-R-R は $R_N(t) - R_I(t) - R_I(t-1)$ を示す。t は当日、t-1 は前日である。

次に伊勢地東における灌水日、減水日の持続性を調べるために表-2の4事象について、伊勢の当日の増減水を調べ、これらが前日と独立に生起しているか否かを調べる。この場合、中継別の増減水は前日と独立に生起する事が調べられており、中継別の当日の増減水を考慮する必要はない。表-3には実測値及び表-2の発生確率より独立の仮定のもとに求めた理論値を示したが、伊勢では増水、減水が1度生起すると繰り返し3確率が大きく、生起確率を割増して求めた持続係数を乗じてやることにする。持続係数のオーバー近似値は同事象が連続する場合について実測確率/理論確率で与えられ、各月につきて求めると表-4のようになる。この持続係数の値が正しければ伊勢の日々の日を含めた場合の理論確率を計算すれば、実測値に近い値がえられるはずである。表-5には実測値と理論値を示したが、ほとんど一致している。

表-4

	増水の持続係数 f_1	減水の持続係数 f_2
Aug.	1.34	1.10
Sept.	1.28	1.05
Oct.	1.11	1.04

く一致しておらず、前日の条件まで考慮した

	R-R-R-R	R-R-R-F	R-R-F-R	R-R-F-F	R-F-R-R	R-F-R-F	R-F-F-R	R-F-F-F
Aug.	理論値 4.9%	5.6%	3.4%	8.6%	1.3%	1.5%	2.0	5.1
	実測値 3.5	7.7	3.0	8.2	1.5	1.7	2.2	4.5
Sept.	理論値 3.8	5.6	3.8	9.5	1.2	1.8	2.1	5.3
	実測値 2.3	6.2	2.9	10.8	1.0	2.3	0.5	6.7
Oct.	理論値 2.5	4.4	3.8	8.9	1.6	2.9	3.3	7.7
	実測値 2.0	5.0	2.7	10.4	0.5	2.0	3.5	9.4

モデルを作製すれば実測に近い増水日、

	F-R-R-R	F-R-RF	F-R-F-R	F-R-F-F	F-F-R-R	F-F-R-F	F-F-F-R	F-F-F-F
Aug.	理論値 2.7	3.0	1.9	4.7	7.3	8.4	11.3	28.4
	実測値 1.7	3.2	1.0	6.2	8.9	6.7	13.7	26.3
Sept.	理論値 1.8	2.6	1.8	4.5	6.7	9.7	11.4	28.5
	実測値 1.0	4.1	1.5	3.9	9.7	7.0	14.6	25.6
Oct.	理論値 2.6	2.6	2.2	5.2	5.6	10.0	11.3	26.6
	実測値 1.2	3.0	1.0	6.5	7.2	10.2	12.4	23.1

表-5

減水日の発生過程を表すことができるといがわかった。実際の計算に使われたモデルでは中継別の当日及び伊勢の当日の増減水の指標を用いて伊勢の当日の増減水を統計的に定める。さらに伊勢の増減水は中継別の増水量と密接な関係があることがわかつたので、中継別の増水量△Q_Nの値が10倍以上の場合と以下の場合にわけて取った発生確率を与えてある。灌水日、減水日の1日向雄醸確率を算出してみると、図-1、図-2の計算(2)となり実測値と大体よく一致する。図中の計算(1)は持続係数を用いた場合の理論値である。

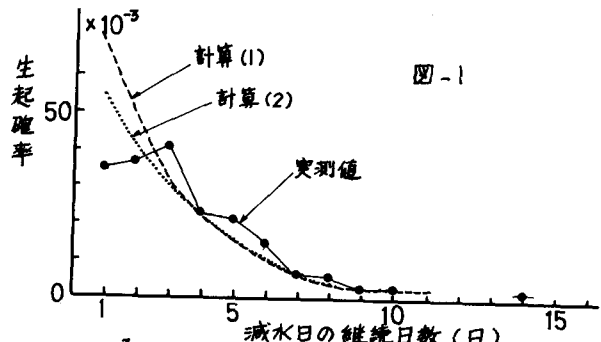


図-1

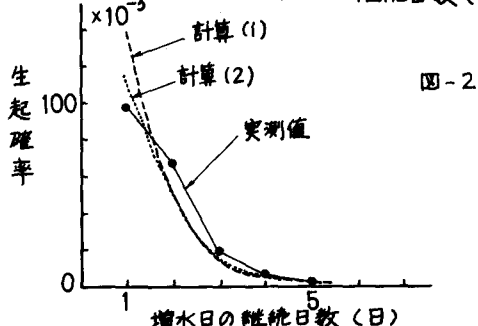


図-2

2-2 伊納流量の計算方法

伊納地盤における前日流量 Q_{t-1} と当日流量 Q_t の関係を図-3に示した。 $Q_t = Q_{t-1}$ の直線より上にある点が増水日、下にある点が減水日を示してある。図では中継別の増減を同時にわかる様に4種類の記号を用いてあるが、伊納の増水量、減水比は各々異った平均値をもつ次の4つのケル-70に大別されると考えられる。

ケル-70 I 両地盤減水

- " II 中継別-減水、伊納-増水
- " III 中継別-増水、伊納-減水
- " IV 両地盤増水

減水日が続く場合、減水比の前日との相関は前日の流量による減水比の分布型のちがいに加味すれば十分であり、増水量は $\gamma = 1.0$ に生起すると考えて I, IIIの伊納が減水の場合(1)式、II, IVの伊納が増水の場合(2)式を各自用いて γ 及び ε を求めれば Q_t が計算できる。

$$Q_t = \gamma \times Q_{t-1} \quad \gamma: 減水比 \quad (1)$$

$$Q_t = Q_{t-1} + \varepsilon \quad \varepsilon: 増水量 \quad (2)$$

Iの場合には伊納前日流量 Q_{t-1} の小より大きいものは $Q_t = Q_{t-1}$ の下側に接近しており、 Q_{t-1} が大きくなるにつれて直線からはずれなくなる。又両地盤の減水比の相関を調べると相関はそれほど大きくなく、伊納地盤単独で減水比を決めてさしつかえない。本計算では図-3より次の4つの場合に分けて各々について分布型を調べた。(1) $Q_{t-1} < 150 \text{ mm/s}$, (2) $150 < Q_{t-1} < 350$, (3) $350 < Q_{t-1} < 700$, (4) $Q_{t-1} > 700$ 。(1), (2)にはボアソニ分布、(3), (4)には実測の累加確率に直線をあてはめ計算上の確率を求めた。

IIの場合は、中継別流量が山形に、伊納増水量の分布が異っており他支川流域における小降雨による増水と、広範囲な降雨における去水時刻のずれによる去水の遅れが比較的、明確にみらゆる。これら2つの場合の増水量ヒストグラムは、ポリエッジベルガーハーの分布で近似された。

IIIの場合は、中継別の去水が、下流に影響が少い場合で減水比も1の近くにある。月毎に減水比のヒストグラムが少しずつ異なり、月別にボアソニ分布をあてはめた。

IVの場合、中継別増水量が10%以上では、増水量にある程度の相関があり、両地盤の降水の強度は似かよっている。中継別の増水量から伊納の増水量を推定するために、両増水量の回帰線を求めた。しかし、この回帰線によれば、伊納ご負の増水量が計算される場合が生じ適当でない。本計算では両増水量の対数をとって回帰線を求めた。また中継別の増水量が10%以下の場合には伊納の増水量が中継別とは独立に生起すると考えてもよく、ボアソニ分布にあてはめた。又、回帰線からのばれは対数正規型の分布にあてはめて近似した。

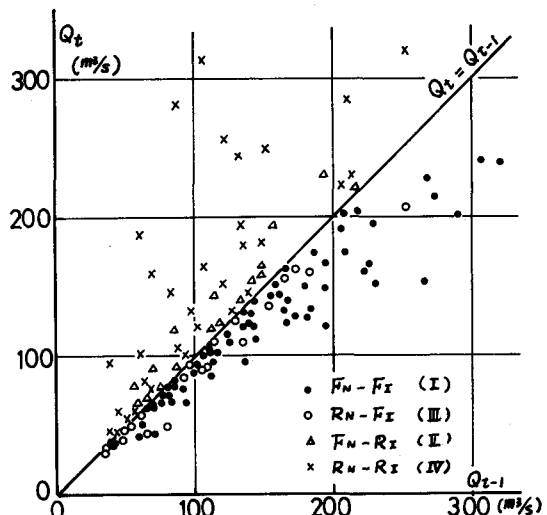


図-3

2-3 計算結果の検討

2-1, 2-2 に述べたモデルによれば上流域のハイドログラフの変化を考慮に入れて下流域を計算することができる。最上流域は単独地図の方法を用いればよい。この計算では中流域より、伊納への追算の精度をたしかめるために、中流域日流量及び、伊納の初期値と 12 条測定値を与えた。從って伊納の増減水、流量の値が確率的に決ることになる。又、計算上で伊納の流量が、中流域の流量より小さくなつた場合は計算をやめなければならないことにした。これは実測値から与えられた計算上の制限である。日流量系列につけて、実測値と計算値につけて分散、平均値につけて差があるか否かを各月について調べてみると差が認められなりことが統計的に推定でき計算値と実測値は同じ母集団からの標本とみてよいことがわかる。次に伊納日流量の度数分布を調べ Sept. の例を図-4 に示したが実測値と計算値は大体よく一致している。次に月流量につけて中流域との相関を調べ Sept. の例を図-5 に示した。図中の回帰線は 13 条の実測値を使って最小二乗法により求めたが、計算値の回帰係数との差の検定が行なうと、回帰係数に差が認められない、両流域の月流量の相関が正しく再現されている。図には実測値に 95%, 99% の信頼限界線を示してある。又、実用上から指定値以下の流量の継続日数と度数を調べ、実測値と比較してみると、より近似を与えており、これらのことからも、このモデルによるシミュレーションの精度が高くなることを示している。

3 あらわしがき

本方法は、水系全体、あるいは他水系を含めた水計画のデータをつくる基準的モデルであるが多くの計算例によれば、統計的に生じうるいくつかの日流量系列を再現でき、従来のシミュレーションモデルに比べ、かなり有用なものであることが結論される。今後、計算例の利用の際の手法について研究を進めて行いたい。

参考文献

著、平山、長谷部：河川日流量時系列の研究

土木学会第 23 回年次学術講演会講演概要 昭和 43 年、9 月

図-4

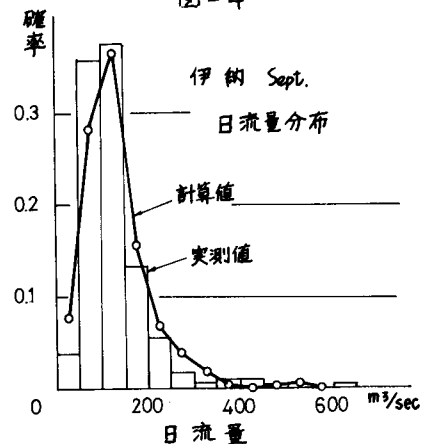


図-5

